



FAG

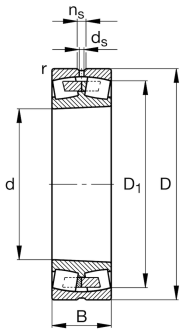
22230-E1A-XL-K-M-C3 [↗](#)

Радиальный сферический роликоподшипник

Радиальный сферический роликоподшипник 222...-E1A-XL-K-M, симметричный, 2 наружных борта

X-life

Техническая информация



Ваш текущий вариант продукта

Design	E1A	Without central rip
Исполнение отверстия	K	Коническое, 1:12
Cage	M	Латунный сепаратор
Радиальный зазор	C3 (Group 3)	Internal clearance larger than CN
Relubrication facility	Standard	Стандарт

Основные размеры и рабочие характеристики

d	150 mm	Диаметр отверстия
D	270 mm	Наружный диаметр
B	73 mm	Ширина
C _r	1.010.000 N	Динамическая грузоподъемность, радиальная
C _{0r}	1.210.000 N	Статическая грузоподъемность, радиальная
C _{ur}	114.000 N	Предел усталостной нагрузки, радиальный
n _G	2.900 1/min	Предельная частота вращения
n _{gr}	2.050 1/min	Номинальная тепловая частота вращения
m	17,283 kg	Вес



Присоединительные размеры

$d_{a \min}$	164 mm	Мин. диаметр заплечика вала
$D_{a \max}$	256 mm	Макс. диаметр заплечика корпуса
$r_{a \max}$	2,5 mm	Макс. радиус галтели
$d_{a \max}$	177 mm	Макс. диаметр заплечика вала
$d_{b \min}$	160 mm	Мин. диаметр под втулку
$B_{a \min}$	15 mm	Мин. глубина под втулку

Габаритные размеры

r_{\min}	3 mm	Мин. размер монтажной фаски
D_1	240,8 mm	Диаметр отверстия наружного кольца
d_2	177,9 mm	Диаметр дорожки качения внутреннего кольца
d_s	8 mm	Диаметр смазочного отверстия
n_s	15 mm	Ширина смазочной канавки

Диапазон температур

T_{\min}	-30 °C	Мин. рабочая температура
T_{\max}	200 °C	Макс. рабочая температура

Коэффициенты для расчета

e	0,25	Предельное значение F_a/F_r для применимости различн. значений коэффициентов X и Y
Y_1	2,69	Динамический коэффициент осевой нагрузки
Y_2	4	Динамический коэффициент осевой нагрузки
Y_0	2,63	Статический коэффициент осевой нагрузки

Дополнительная информация

H3130	Закрепительная втулка
АНХ3130G	Стяжная втулка



Характеристики



Радиальная нагрузка



Осевая нагрузка в одном направлении



Осевая нагрузка в обоих направлениях



Смазывание пластичной смазкой



Смазывание маслом



Без уплотнений



Динамические угловые и линейные несоосности